

بررسی عملکرد پانل میانی نازک بین دو بازشو در دیوارهای برشی فولادی با سخت‌کننده*

سعید صبوری^(۱) الناز آهوری^(۲) صلاح الدین مام عزیزی^(۳)

چکیده در دیوارهای برشی فولادی دارای دو بازشو، پانل بین بازشوها به لحاظ عملکرد با یک تیر شبیه‌سازی می‌شود که بسته به نسبت ابعاد، رفتاری به صورت برشی یا خمشی صرف و یا به صورت رفتار برشی و خمشی توأم خواهد داشت. با فرض در نظر گرفتن سخت‌کننده‌های دوگانه در طرفين پانل میانی، سخت‌کننده‌های مذکور همانند ستون‌های پانل بین بازشوها، که خود قابل مقایسه با یک سیستم دیوار برشی فولادی می‌باشد، رفتار می‌کنند. برای اطمینان از وقوع جاری شدن برشی ورق فولادی پانل میانی پیش از جاری شدن سخت‌کننده‌های طرفيین آن در اثر خمش، لازم است سطح مقطع سخت‌کننده‌های مذکور از حد معینی کمتر نباشد. از طرفی در تعیین رفتار پانل میانی به لحاظ رفتار خمشی یا برشی، نسبت ابعاد آن تأثیرگذار می‌باشد. در این مقاله، پانل میانی با شبیه‌سازی به یک تیر محدود مطالعه قرار گرفته و روابطی برای تعیین حداود ابعاد پانل میانی نازک و برای محاسبه‌ی حداقل سطح مقطع مورد نیاز برای سخت‌کننده‌های طرفيین پانل مذکور، ارائه شده است. هم‌چنین نتایج حاصل از روابط بدست آمده با نتایج مدل‌سازی عددی با نرم‌افزار اجزای محدود ABAQUS مقایسه شده است. بر این اساس مشخص شده است که در مورد دیوارهای برشی فولادی تعویت شده دارای دو بازشو، می‌توان با انتخاب نسبت مناسب ارتقای به عرض پانل میانی، از عملکرد برشی در پانل بین بازشوها اطمینان داشت.

واژه‌های کلیدی دیوارهای برشی فولادی، بازشوی مستطیلی، پانل میانی نازک، سخت‌کننده.

Study of Unstiffened Central Panel between Two Openings in Steel Plate Shear Walls with Stiffeners

S. Sabouri

E. Ahouri

S. Mamazizi

Abstract The central panel in steel plate shear walls (SPSWs) with two openings is considered as an I-shaped beam extending the height of the opening. Based on its "height to width" ratio, the dominant behavior can be due to shear or flexure or a combination of the two. The double stiffeners on the vertical sides of the central panel act as columns, comparable to columns of a typical SPSW system. Care is taken to keep the sectional area of the stiffeners above a minimum specified value in order to ensure that shear yielding of the central panel's plate precedes flexural yielding of the stiffeners. The leading dimensions of central panel directly govern the behavior of the panel in shear and flexure. In this paper, central panel has been modeled as an I-shaped beam and equations have been derived for panel aspect ratio and cross sectional area of double stiffeners for different modes of behavior. Theoretical results are then compared with results of finite element analysis using ABAQUS Finite Element software. Based on this comparison, it can be concluded that in SPSWs with two openings, selection of a reasonable aspect ratio for central panel can cause shear dominant behavior in central panel.

Key Words Steel Plate Shear Wall, Rectangular Openings, Unstiffened Central Panel, Stiffener.

★ تاریخ تصویب مقاله ۸۹/۰۹/۰۶ و تاریخ دریافت نسخه نهایی اصلاح شده ۹۱/۳/۳

(۱) نویسنده‌ی مسؤول، استاد، دانشکده عمران، دانشگاه صنعتی خواجه نصیر الدین طوسی

(۲) کارشناس ارشد سازه، دانشکده عمران، دانشگاه صنعتی خواجه نصیر الدین طوسی

(۳) دانشجوی دکتری سازه، دانشکده عمران، دانشگاه صنعتی خواجه نصیر الدین طوسی

پایین (Low Yield Point Steel) در آزمایشگاه سازه‌ی مرکز ملی تحقیقات مهندسی زلزله (NCREE) در دانشگاه ملی تایوان (NTU) مورد آزمایش قرار گرفت [10].

بر اساس نتایج این آزمایش‌ها، مشخص شد که فولاد دارای مقاومت جاری شدن پایین می‌تواند جایگزین بسیار مناسبی به منظور کاربرد در ساخت المان‌های جاذب انرژی در سیستم‌های باربر جانی محسوب شود. در همهٔ نمونه‌های مورد آزمایش بازشودار، کاهش سختی و مقاومت، نسبت به نمونه‌های مشابه فاقد بازشو مشاهده شد. در نمونه مشبك، جاری شدن ورق در فواصل باریک بین بازشوها آغاز شد و در این نواحی گسترش پیدا کرد. نمونه‌ی مذکور در ابتدای آزمایش عملکرد بسیار خوبی به نمایش گذاشت. این نمونه در محدوده‌ی تغییر مکان‌های کوچک رفتار الاستیک داشت و در محدوده‌ی غیر الاستیک، رفتار هیستریک پایداری ارائه نمود. نمونه‌ی دارای بازشوی رباعی دایره در گوشه‌ی ورق، تا دریفت برابر با $2/5$ ٪، رفتار هیستریک پایداری در ضمن اعمال چرخه‌های بارگذاری نشان داد.

در سال ۲۰۰۸، چهار نمونه دیوار برಶی فولادی تقویت شده با بازشوی مستطیل شکل مرکزی که در آنها از ورق فولادی نرم [14]، استفاده شده بود، در آزمایشگاه سازه‌ی مرکز تحقیقات ساختمان و مسکن مورد آزمایش قرار گرفت [۲۰]. پس از آن نتایج آزمایشگاهی با نتایج حاصل از بررسی‌های عددی تطبیق داده شد. نتایج هر دو روش که دارای انتبار بازشوی بودند، نشان‌دهنده‌ی کاهش سختی و مقاومت نمونه‌های دارای بازشو با افزایش عرض بازشو، نسبت به نمونه‌های مشابه فاقد بازشو بود و مشخص شد که تقویت ورق می‌تواند اثر کاهش سختی و مقاومت را در نمونه‌های تقویت شده تا حدود ۴۰٪ جبران نماید.

مقدمه

دیوارهای برشی فولادی به صورت تقویت شده و بدون تقویت، هم‌چنین در حالت وجود بازشو و یا عدم وجود آن، طراحی و ساخته می‌شوند. دیوارهای برشی فولادی دارای مزایای متعدد و ممتازی نسبت به سایر سیستم‌های باربر جانی می‌باشند و از این رو در سال‌های اخیر توسعه محققان مختلفی مانند آستانه اصل [1-3]، کولاک [4-6]، درایور [4,6]، سوربن [5]، برونو [7-10]، برمن [8]، پارک [11,12] مورد مطالعه قرار داده شده‌اند.

استفاده از دیوارهای برشی ساخته شده از ورق‌های فولادی دارای مزایای زیادی از جمله شکل‌پذیری بالا و قابلیت جذب انرژی زیاد، سهولت اجرایی، سختی اولیه بالا، وزن کم‌تر در مقایسه با نمونه‌های بتنی مشابه می‌باشد.

از نخستین مطالعات آزمایشگاهی انجام شده بر روی نمونه‌های دیوارهای برشی فولادی دارای بازشو، تحقیقات صورت گرفته در آزمایشگاه سازه‌ی دانشگاه کاردیف انگلستان می‌باشد [۱۳-۱۸]. در این مطالعات، مجموعه‌ای از آزمایش‌ها با اعمال بارگذاری چرخه‌ای شباهستاتیکی بر روی نمونه‌های دیوارهای برشی فولادی بدون تقویت و دارای یک بازشوی دایروی موجود در مرکز ورق انجام گرفت و مشاهده شد که نمونه‌ها دارای شکل‌پذیری کافی و حلقه‌های هیسترزیس پایدار S شکل بوده و قابلیت جذب انرژی آنها در هر چرخه‌ی بارگذاری، با حداکثر دامنه‌ی تغییرشکل برشی افزایش داشته و مشخص شد که مقاومت و سختی پانل‌ها با افزایش قطر بازشو کاهش پیدا کرده است.

در سال ۲۰۰۴ یک نمونه دیوار برشی فولادی با ورق نازک دارای بیست سوراخ دایره‌ای و نمونه‌ی دیگر دارای بازشویی به شکل رباعی دایره در گوشه‌ی ورق، با استفاده از ورق فولادی با مقاومت جاری شدن

افزایش عرض دیوار، تغییر مکان برشی حد الاستیک ورق تقریباً ثابت می‌ماند و مقاومت برشی نهایی آن افزایش می‌یابد و طبق رابطه $\frac{F}{U} = K$ ، با ثابت ماندن U و افزایش F، سختی برشی نمونه افزایش پیدا می‌کند. علاوه بر این، با افزایش قابل توجه نسبت عرض به ارتفاع نمونه، میدان کششی ورق عمده‌تاً بین تیرهای طبقات تشکیل شده و شدت تأثیر منفی آن بر ستون‌ها کاهش می‌یابد. لذا در سیستم دیوارهای برشی فولادی، عملکرد برشی بر رفتار خمی ترجیح داده می‌شود.

در مورد نمونه‌ی پانل یک طبقه و یک دهانه‌ی مورد بررسی در این تحقیق، با مشخصات ذکر شده در بخش مدل‌سازی و صحت سنجی نمونه‌ها، عملکرد برشی در حد بسیار بالایی حاکم است و خمی قابل چشم‌پوشی می‌باشد.

در ارتباط با پانل میانی بین بازشوها، تمایل به حاکم شدن عملکرد برشی بر رفتار خمی، مبنای استخراج رابطه‌ی تعیین حدود نسبت ارتفاع به عرض پانل در نظر گرفته شده است. بر طبق این اصل، لازم است وقوع جاری شدن برشی ورق جان پانل مذکور، پیش از جاری شدن سخت‌کننده‌های دوگانه‌ی طرفین آن در اثر خمی حاصل از عملکرد نیروهای کششی و فشاری در آن‌ها رخ دهد. از آنجا که سخت‌کننده‌های طرفین پانل میانی، به منزله‌ی ستون‌های پانل بین دو بازشو می‌باشند، باید به لحاظ دارا بودن حداقل سطح مقطع مورد نیاز برای جلوگیری از وقوع کمانش کلی در ورق جان پانل میانی کنترل شده و حداقل مقدار به دست آمده را ارضا نمایند. با این وجود، اراضی این رابطه و انتخاب حداقل سطح مقطع مورد نیاز برای سخت‌کننده‌های مذکور، لزوماً برای جلوگیری از انحنای این سخت‌کننده‌ها به طرف داخل، به دلیل تأثیر نیروهای ناشی از میدان کششی قطری ورق، کفايت نمی‌کند.

در این مقاله، پانل میانی نازک بین دو بازشو (فادد سخت‌کننده برای تقویت ورق جان پانل مذکور) در دیوارهای برشی فولادی مورد مطالعه قرار گرفته است. هدف از این تحقیق شامل موارد زیر می‌باشد:

(۱) مطالعه‌ی تئوریک پانل میانی بین دو بازشو، با شبیه‌سازی آن به تیر با مقطع I شکل.

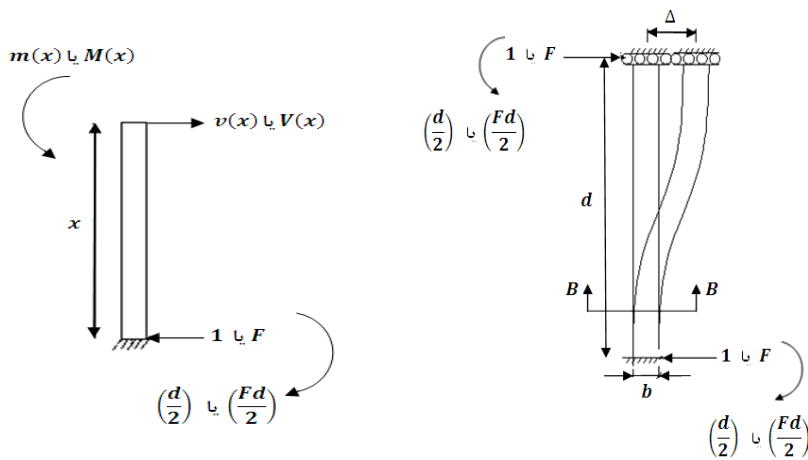
(۲) ارائه‌ی روابطی برای محاسبه حدود ابعاد پانل میانی به منظور تعیین نوع عملکرد آن.

(۳) ارائه‌ی روابطی برای محاسبه حداقل سطح مقطع مورد نیاز برای سخت‌کننده‌های طرفین پانل میانی با هدف جلوگیری از ایجاد تغییرشکلهای خارج از صفحه‌ی قابل ملاحظه در پانل مذکور.

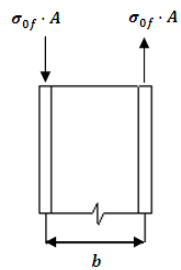
بررسی و مطالعه‌ی رفتار پانل میانی در نمونه‌های دارای دو بازشو و عوامل مؤثر بر عملکرد آن

در سیستم دیوار برشی فولادی دارای دو بازشوی مستطیلی ایستاده، پانل بین بازشوها (پانل میانی) مشابه یک دیوار برشی فولادی با ابعاد کمتر از ابعاد پانل اصلی است که نسبت ارتفاع به عرض پانل مذکور در تعیین رفتار آن تأثیرگذار است. به نحوی که رفتار المان، بر حسب نسبت ارتفاع به عرض آن، به صورت رفتار غالباً برشی، غالباً خمی و یا ترکیبی از رفتارهای برشی و خمی دسته‌بندی می‌گردد.

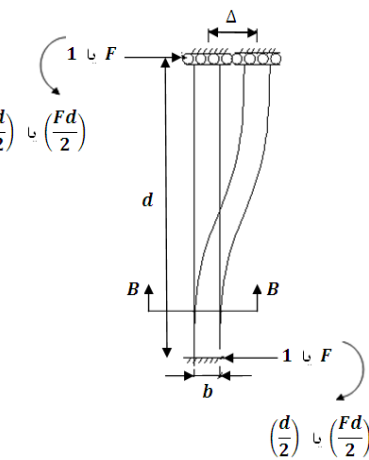
در دیوارهای برشی فولادی با افزایش قابل ملاحظه‌ی عرض نسبت به ارتفاع نمونه، عملکرد دیوار به سمت عملکرد برشی میل می‌کند و رفتار نمونه بهبود می‌یابد. بر اساس تئوری اندر کنش ورق فولادی- قاب (Plate-Frame Interaction) [۱۵] و [۱۳] تغییر مکان برشی حد الاستیک ورق فولادی، U_{we} ، با ارتفاع ورق نسبت مستقیم دارد و تقریباً مستقل از عرض و ضخامت آن می‌باشد. در حالی که مقاومت برشی نهایی نمونه، F_{wll} ، مستقل از ارتفاع ورق است با عرض و ضخامت ورق متناسب می‌باشد؛ لذا با



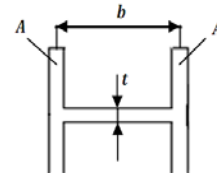
(ب) دیاگرام آزاد پانل میانی در مقطعی به فاصله X از تراز پایین آن در روش کار مجازی و بر اساس اعمال بار



(د) فرض نیروی محوری در بالها



(الف) شبیه‌سازی پانل میانی به یک تیر تحت اثر اعمال بار بر اساس اصل کار مجازی



(ج) مقطع تیر ارائه شده در قسمت (الف)

شکل ۱ پانل میانی بین بازشوها در حالت شبیه‌سازی شده به یک تیر با مقطع I شکل

نسبت مناسب ارتفاع به عرض پانل میانی برای تعیین نوع عملکرد آن، در حالتی که پانل مذکور نازک باشد، مورد بررسی قرار می‌گیرد. بر این اساس، ورق پانل میانی، بدون سخت‌کننده در نظر گرفته شده است. برای محاسبه‌ی تغییر مکان‌های برشی و خمشی، از اصل کار مجازی استفاده می‌شود. بر اساس این تئوری، تغییر مکان‌های برشی و خمشی به ترتیب از روابط (۲) و (۱) به دست می‌آیند [۱۹]:

$$\Delta_s = K \int_0^d \frac{V(x)v(x)dx}{GA} \quad (1)$$

$$\Delta_b = \int_0^d \frac{M(x)m(x)dx}{EI} \quad (2)$$

رعایت حداقل مقدار به دست آمده برای سطح مقطع سخت‌کننده‌های طرفین پانل میانی، باید به عنوان یکی از شروط لازم طراحی، در نظر گرفته شود. با انتخاب سطح مقطع بیشتر برای سخت‌کننده‌ها، نسبت به حداقل مقدار به دست آمده، می‌توان اتحانی آن‌ها به سمت داخل پانل را به حداقل رساند.

بررسی عملکرد کمانش پانل میانی و ارائه‌ی روابط تئوری حاکم

در این تحقیق، شرط رعایت حداقل سطح مقطع لازم برای سخت‌کننده‌های طرفین پانل میانی و نیز انتخاب

خمشی به صورت ممان‌های $M(x) = F \cdot (x - 0.5d)$ و $m(x) = 1 \cdot (x - 0.5d)$ نیروهای برشی به صورت $V(x) = F$ و $v(x) = 1$ می‌توان رابطه‌ی (۲) را به صورت رابطه‌ی (۳) بازنویسی نمود:

$$\begin{aligned} \Delta_b &= \int_0^d \frac{F \left(x - \frac{d}{2} \right)^2}{EI} dx \\ &= \frac{F}{EI} \int_0^d \left(x^2 + \frac{d^2}{4} - d \cdot x \right) dx \\ &= \frac{Fd^3}{12EI_f} \end{aligned} \quad (3)$$

I_f ممان اینرسی سخت‌کننده‌های طرفین پانل مذکور می‌باشد که بر اساس رابطه‌ی (۴) قابل محاسبه است:

$$I_f = 2A \left(\frac{b}{2} \right)^2 = \frac{Ab^2}{2} \quad (4)$$

بر اساس روابط (۴) و (۳)، Δ_b از رابطه‌ی (۵) محاسبه می‌گردد:

$$\Delta_b = \frac{Fd^3}{6EAb^2} \quad (5)$$

برای محاسبه‌ی تغییر مکان برشی، Δ_s با توجه به این که مقطع مورد بررسی، مقطع I شکل است و ضریب شکل برای نیم رخ‌های I شکل مساوی ۱ در نظر گرفته می‌شود [۱۹]، از رابطه‌ی (۱) با فرض $K = 1$ ، به رابطه‌ی (۶) خواهیم رسید:

$$\begin{aligned} \Delta_s &= \int_0^d \frac{Fdx}{\left(\frac{E}{2(1+\mu)} A_w \right)} = \int_0^d \frac{2F(1+\mu)dx}{EA_w} \\ &\rightarrow \Delta_s = \frac{2Fd(1+\mu)}{EA_w} \end{aligned} \quad (6)$$

در رابطه‌ی (۶)، برابر با مساحت وجه تحت اثر برش (سطح مقطع ورق جان در پانل میانی) تعريف می‌گردد و برابرست با:

$$A_w = bt \quad (7)$$

در روابط (۲) و (۱)، Δ_s و Δ_b به ترتیب تغییر مکان‌های برشی و خمشی و $V(x)$ و $m(x)$ نیروی برشی و لنگر خمشی در مقطع المان به ازای اعمال نیروی جانبی F هستند و $v(x)$ و $m(x)$ نیروی برشی و لنگر خمشی در مقطع المان به ازای اعمال نیروی جانبی واحد می‌باشند. K ثابت برش مقطع تعريف می‌شود، G و E ضریب ارجاعی برشی و خمشی هستند و I و A به ترتیب معرف ممان اینرسی و مساحت مقطع می‌باشند. در این قسمت لازم است تا با شیوه‌سازی پانل میانی دیوار برشی فولادی، به یک تیر با مقطع I شکل، نیروها و تغییر مکان‌های برشی و خمشی در آن، بر اساس اصل فوق تعیین گردند.

شکل (۱-الف) نشان‌دهنده‌ی پانل تغییرشکل یافته تحت اثر اعمال بار جانبی موجود F و نیز در حالت اعمال بار جانبی واحد طبق اصل کار مجازی می‌باشد. در شکل (۱-ب) دیاگرام آزاد پانل در مقطعی به فاصله‌ی x از تراز پایین آن در هر دو حالت بارگذاری مذکور و در شکل (۱-ج) مقطع پانل نمایش داده شده است. در شکل (۱-ب)، $V(x)$ و $m(x)$ به ترتیب معرف نیروی برشی در مقطع مورد بررسی به فاصله‌ی x از انتهای المان تحت اثر اعمال بار جانبی F و بار واحد بوده و $M(x)$ و $m(x)$ به ترتیب، ممان‌های خمشی در اثر اعمال بار جانبی F و بار واحد، تعريف می‌شوند. جان تیر در شکل (۱-ج)، ورق جان پانل بین بازشوها است و بالهای تیر، سخت‌کننده‌های طرفین پانل میانی می‌باشند.

شکل (۱-د) نیز نیروهای محوری به وجود آمده در سخت‌کننده‌های دو طرف پانل بین بازشوها را نشان می‌دهد. در شکل (۱)، b، A ، d ، فاصله مرکز تا مرکز سخت‌کننده‌های طرفین پانل، d، ارتفاع پانل و t، ضخامت ورق پانل مذکور در نظر گرفته شده است و A سطح مقطع سخت‌کننده‌های طرفین پانل می‌باشد. ضریب پواسون نیز با μ معرفی شده است. در روابط مربوط به محاسبه‌ی تغییر مکان‌های برشی و خمشی بر طبق اصل کار مجازی [۱۹]، پس از تعیین ممان‌های

بررسی عملکرد پانل میانی نازک بین دو بازشو در دیوارهای ...

نظر گرفته شود، می‌توان مقادیر ممان‌های مذکور را بر اساس رابطه‌ی (۱۱) محاسبه نمود:

$$M_B = M_T = \frac{F_{bu} \cdot d}{2} \quad (11)$$

از طرف دیگر بر اساس شکل (۱-د)، ممان‌های M_B و M_T از رابطه‌ی (۱۲) قابل تعیین است:

$$M_B = M_T = \sigma_{0f} \cdot Ab \quad (12)$$

با مساوی قرار دادن طرف راست معادلات (۱۱) و (۱۲)، مقدار F_{bu} بر اساس معادله‌ی (۱۳) قابل تعیین است:

$$F_{bu} = \frac{2\sigma_{0f}}{d} Ab \quad (13)$$

با توجه به روابط کلاسیک و لاغری بالای ورق پانل میانی، عملاً تنش برشی بحرانی آن، τ_{cr} ، ناچیز و نزدیک به صفر می‌باشد. [۱۵ و ۱۳] در صورت قابل توجه بودن مقدار τ_{cr} می‌بایست مقدار آن در روابط لحظه شده و روابط جدید استخراج گردد. بنابراین، در مورد پانل نازک بین بازشوها می‌توان نوشت:

$$\tau_{cr} = 0 \quad (14)$$

در این صورت روابط (۱۵) و (۱۶) در مورد پانل میانی برقرار می‌باشند:

$$F_{su} = F_{wu} = \frac{1}{2} \sigma_{0w} \cdot bt \quad (15)$$

$$\Delta_{su} = U_{we} = \frac{2\sigma_{0w}}{E} \cdot d \quad (16)$$

در روابط فوق، σ_{0w} تنش جاری شدن فولاد ورق می‌باشد. اکنون بر اساس نامساوی (۹) (شرط اول مورد بررسی در این تحقیق) و رابطه‌های (۱۵) و (۱۳)، رابطه‌ی (۱۷) به دست می‌آید:

$$\begin{aligned} F_{su} &\leq F_{bu} \rightarrow \frac{1}{2} \sigma_{0w} \cdot bt \leq \frac{2\sigma_{0f}}{d} \cdot Ab \\ &\rightarrow A \geq \frac{\sigma_{0w} \cdot td}{4\sigma_{0f}} \end{aligned} \quad (17)$$

در این صورت، بر اساس معادلات (۷ و ۶)، مقدار Δ_s را می‌توان از رابطه‌ی (۸) محاسبه نمود:

$$\Delta_s = \frac{2Fd(1+\mu)}{Ebt} \quad (8)$$

به عنوان اولین شرط مورد بررسی در این تحقیق، لازم است وقوع جاری شدن برشی ورق جان پانل میانی، پیش از جاری شدن سختکننده‌های دوگانه‌ی طرفین این پانل (بال‌های مقطع I شکل) در اثر خمش رخ دهد. خمش مؤثر بر مقطع پانل میانی، ناشی از ایجاد نیروهای کششی در سختکننده‌های یک سمت آن و نیروهای فشاری در سختکننده‌های سمت دیگر می‌باشد. لازمه‌ی محقق شدن شرط اول، برقرار بودن رابطه‌ی (۹) است:

$$F_{su} \leq F_{bu} \quad (9)$$

در رابطه‌ی (۹)، F_{su} نیروی برشی نهایی (با فرض الاستیک - کاملاً پلاستیک‌بودن دیاگرام تنش - کرنش فولاد) در ورق جان پانل بین بازشوها و F_{bu} نیروی جانبی ناشی از لنگر خمشی نهایی (با فرض الاستیک - کاملاً پلاستیک بودن دیاگرام تنش - کرنش فولاد) در تراز فوقانی پانل میانی می‌باشد که مطابق شکل (۱-د) منجر به ایجاد نیروی محوری برابر با $\sigma_{0f} \cdot A$ در سختکننده‌های مذکور می‌گردد.

شرط دوم در این تحقیق، مستلزم بیشتر بودن تغییر مکان برشی حد الاستیک ورق، Δ_{su} ، از تغییر مکان خمشی حد الاستیک، Δ_{bu} در تراز فوقانی پانل میانی می‌باشد، که به صورت رابطه‌ی (۱۰) بیان می‌گردد:

$$\Delta_{su} \geq \Delta_{bu} \quad (10)$$

در المان مورد بررسی بر اساس شکل‌های (۱-ج) و (۱-د)، در صورتی که لنگر خمشی در ترازهای بالا و پایین تیر ارائه شده را به ترتیب با نمادهای M_B و M_T و معرفی کنیم و σ_{0f} تنش جاری شدن فولاد بال‌ها در مقطع (B-B) (سختکننده‌های طرفین پانل میانی) در

با قرار دادن مقدار F_{bu} از رابطه‌ی (۱۳) در معادله‌ی (۱۹) خواهیم داشت:

$$\Delta_{bu} = \frac{F_{bu} \cdot d^3}{6EA b^2} = \frac{2\sigma_{0f} \cdot d^2}{6Eb} \quad (23)$$

لذا با فرض ثابت بودن d ، E ، μ و σ_{0w} که A و b در پانل و تغییر مقدار b که سبب تغییر نسبت d/b در پانل میانی می‌شود، می‌توان سختی خمی و سختی برشی المان مورد مطالعه را محاسبه نمود. با توجه به روابط (۲۳) و (۱۳)، سختی خمی پانل از رابطه‌ی (۲۴) تعیین می‌گردد:

$$K_b = \frac{F_{bu}}{\Delta_{bu}} = \frac{6EA b^2}{d^3} \quad (24)$$

لذا با فرض تغییر عرض پانل و ثابت بودن سایر پارامترها، خواهیم داشت:

$$\begin{cases} F_{bu} \propto b \\ \Delta_{bu} \propto \frac{1}{b^2} \end{cases} \rightarrow K_b = \frac{F_{bu}}{\Delta_{bu}} \propto \frac{b}{\frac{1}{b^2}} \rightarrow K_b \propto b^3 \quad (25)$$

بر اساس رابطه‌ی (۲۵) سختی خمی پانل میانی با توان دوم عرض پانل مذکور تغییر می‌کند. در مورد پانل میانی بدون تقویت که در آن فرض ایجاد کمانش برقرار است، بر اساس روابط (۱۶) و (۱۵)، سختی برشی از رابطه‌ی (۲۶) تعیین می‌گردد:

$$K_s = \frac{F_{su}}{\Delta_{su}} = \frac{Ebt}{4d} \quad (26)$$

بنابراین در المان مورد مطالعه می‌توان به رابطه‌ی (۲۷) برای محاسبه‌ی سختی برشی رسید:

$$\begin{cases} F_{su} \propto b \\ \Delta_{su} \propto 1 \end{cases} \rightarrow K_s = \frac{F_{su}}{\Delta_{su}} \propto b \rightarrow K_s \propto b \quad (27)$$

لذا در صورت مطالعه پانل میانی نازک، با فرض ثابت بودن مقادیر d ، E ، μ ، t ، σ_{0f} و σ_{0w} و پذیرفتن b به عنوان تنها پارامتر متغیر، می‌توان بیان کرد: بر اساس رابطه‌ی (۲۷)، سختی برشی پانل میانی، K_s ، با عرض پانل مذکور، b ، متناسب است و طبق رابطه‌ی (۲۵)، سختی خمی المان، K_b ، با b^2 نسبت مستقیم دارد. در چنین شرایطی، با افزایش b و در

با جایگزین نمودن F_{bu} و F_{su} به ترتیب در روابط (۸) و (۵)، می‌توان مقدار Δ_{su} را بر طبق رابطه‌ی (۱۸) و مقدار Δ_{bu} را از رابطه‌ی (۱۹) تعیین نمود:

$$\Delta_{su} = \frac{2.6dF_{su}}{Ebt} \quad (18)$$

$$\Delta_{bu} = \frac{F_{bu} \cdot d^3}{6EA b^2} \quad (19)$$

در صورتی که به جای F_{su} در رابطه‌ی (۱۸)، عبارت معادل با آن بر اساس رابطه‌ی (۱۵) قرار داده شود، و به جای F_{bu} در رابطه‌ی (۱۹)، عبارت به دست آمده از رابطه‌ی (۱۳) جایگزین گردد، نامساوی (۱۰) (دومین شرط مورد بررسی در این تحقیق) به صورت نامساوی (۲۰) بازنویسی می‌گردد:

$$\Delta_{su} \geq \Delta_{bu} \rightarrow \frac{2\sigma_{0w}}{E} d \geq \frac{2\sigma_{0f}}{d} \cdot Ab \cdot \frac{d^3}{6EA b^2} \rightarrow \frac{d}{b} < 6 \frac{\sigma_{0w}}{\sigma_{0f}} \quad (20)$$

با فرض یکسان بودن انواع فولاد در ورق و سخت‌کننده‌ها، می‌توان نوشت:

$$\sigma_{0w} = \sigma_{0f} = \sigma_0 \quad (21)$$

$$\frac{d}{b} < 6 \quad (22)$$

نتیجه‌ی محاسبات فوق، در جداول (۱-۴) ارائه شده است.

جدول ۱ فضیلت اصلی هر دو حالت

استفاده از پانل میانی تقویت‌شده و بدون تقویت

شرط اصلی در ارتباط با نیروها	$F_{su} \leq F_{bu}$
شرط اصلی در ارتباط با تغییر مکانها	$\Delta_{su} \geq \Delta_{bu}$

جدول ۲ روابط مشترک برای هر دو حالت

وجود پانل میانی تقویت‌شده و بدون تقویت

$\Delta_s = \frac{2F(1+\mu)d}{EA_w}$	$\Delta_b = \frac{Fd^3}{12EI_f}$
$\Delta_{su} = \frac{2.6dF_{su}}{Ebt}$	$\Delta_{bu} = \frac{F_{bu} \cdot d^3}{6EA b^2}$
$A_w = bt$	$I_f = \frac{Ab^2}{2}$

مدل‌سازی و صحت‌سنگی نمونه‌ها با استفاده از آزمایش‌های گذشته

با هدف صحت‌سنگی نتایج مدل‌سازی، از دو نمونه‌ی آزمایشگاهی دیوار برشی فولادی یک طبقه و یک دهانه‌ی فاقد بازشو، که یکی از آنان دارای سخت‌کننده و دیگری بدون تقویت می‌باشد [۲۰]، استفاده شد و منحنی‌های بار-تغییر مکان جانبی آزمایشگاهی دو نمونه‌ی مذکور تحت اثر بارگذاری مونوتونیک، به عنوان ملاک تعیین صحت نتایج مدل‌سازی عددی، در صورت مقایسه با منحنی‌های متناظر حاصل از مدل‌سازی در نظر گرفته شده‌اند.

نتیجه با کاهش نسبت b/d ، افزایش سختی خمی المان به مراتب بیشتر از افزایش سختی برشی آن می‌باشد و به دلیل ایجاد سختی برشی کم‌تر نسبت به سختی خمی، تغییر مکان‌های برشی از تغییر مکان‌های خمی المان بیشتر شده و رفتار برشی بر عملکرد خمی حاکم می‌شود. از طرفی با کاهش b/d نتیجتاً افزایش نسبت b/d ، کاهش سختی خمی المان به مراتب بیشتر از کاهش سختی برشی آن می‌گردد. در این صورت، به علت ایجاد سختی برشی بیشتر نسبت به سختی خمی در پانل میانی، تغییر مکان‌های خمی از تغییر مکان‌های برشی بیشتر می‌شود و رفتار خمی المان بر عملکرد برشی غالب می‌گردد.

جدول ۳ روابط ارائه شده به منظور تعیین کمیت‌های A و d/b در حالت استفاده از پانل

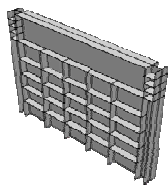
میانی بدون تقویت

(رابطه)	(تعریف)
$\tau_{cr} = 0$	فرض اصلی در مورد پانل میانی نازک
$F_{su} = 0.5\sigma_{0w} \cdot bt$	نیروی برشی نهایی در ورق پانل میانی
$F_{bu} = \frac{2\sigma_{0f}}{d} \cdot Ab$	نیروی جانبی نهایی در تراز فوقانی پانل میانی
$A \geq \frac{\sigma_{0w} \cdot td}{4\sigma_{0f}}$	حداقل سطح مقطع سخت‌کننده‌های طرفین پانل میانی
$\frac{d}{b} < 6 \frac{\sigma_{0w}}{\sigma_{0f}}$	حداقل نسبت ارتفاع به عرض پانل میانی برای داشتن رفتار برشی

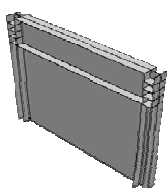
جدول ۴ روابط ارائه شده به منظور تعیین کمیت‌های A و d/b در حالت استفاده از پانل میانی

بدون تقویت (با فرض یکسان بودن نوع فولاد ورق و سخت‌کننده‌های طرفین آن)

(رابطه)	(تعریف)
$\tau_{cr} = 0$	فرض اصلی در مورد پانل میانی نازک
$F_{su} = 0.5\sigma_0 \cdot bt$	نیروی برشی نهایی در ورق پانل میانی
$F_{bu} = \frac{2\sigma_0}{d} \cdot Ab$	نیروی جانبی نهایی در تراز فوقانی پانل میانی
$A \geq \frac{td}{4}$	حداقل سطح مقطع سخت‌کننده‌های طرفین پانل میانی
$\frac{d}{b} < 6$	حداقل نسبت ارتفاع به عرض پانل میانی برای داشتن رفتار برشی



شکل ۲ مدل نمونه تقویت شده



شکل ۳ مدل نمونه بدون تقویت

جدول ۵ ابعاد ورق و سخت کننده ها در نمونه های مورد آزمایش

المان	عرض (mm)	ارتفاع (mm)	ضخامت (mm)
ورق فولادی	1410	960	2
سخت کننده های جان ستون	90	140	3
سخت کننده های عمودی	60	960	4
سخت کننده های افقی	60	1410	4

جدول ۶ مشخصات مکانیکی قطعات نمونه های مورد آزمایش

المان	نوع فولاد	تنش جاری شدن (Mpa)	تنش نهایی (MPa)
ستون	ST-52	414.9	544
تیر	ST-52	414.9	544
ورق	ST-14	192.4	288.7
سخت کننده های اصلی	ST-37	240	370

جدول ۷ ابعاد مقطع تیرها و ستون های نمونه های مورد آزمایش

المان	عرض بال (mm)	ضخامت بال (mm)	ارتفاع جان (mm)	ارتفاع جان (mm)	ضخامت جان (mm)
ستون	140	15	60	20	
تیر	140	20	250	20	

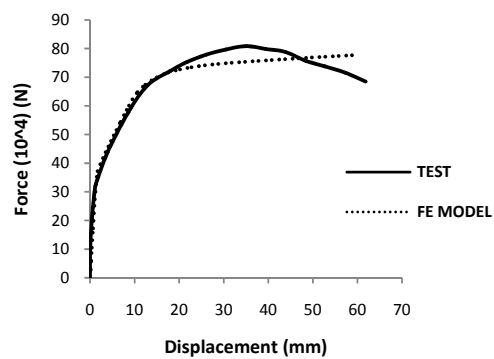
فرضیات کلی مدل سازی عددی

به منظور مطالعه‌ی عددی عملکرد پانل میانی در پانل‌های برشی فولادی در این بخش، از نرم‌افزار المان محدود (ABAQUS Version 6.7-1) استفاده شده است. در مدل سازی نمونه‌های تقویت شده و بدون تقویت انتخاب شده برای صحبت‌سنگی نتایج که به ترتیب در اشکال (۳ و ۲) نشان داده شده‌اند، ورق فولادی، تیر فوقانی و ستون‌های احاطه‌کننده‌ی ورق با المان SHELL مدل شده‌اند. در جدول (۵) ابعاد ورق و سخت‌کننده‌ها، در جدول (۶) مشخصات مکانیکی انواع فولاد به کار رفته و در جدول (۷) ابعاد مقطع تیر و ستون‌ها در نمونه‌های آزمایشگاهی و مدل‌ها ارائه شده است. سخت‌کننده‌ها در مدل تقویت شده مانند نمونه‌ی آزمایشگاهی به صورت یک طرفه به عرض ۶۰ میلی‌متر و ضخامت ۴ میلی‌متر در نظر گرفته شده‌اند. انتخاب ابعاد سخت‌کننده‌ها به گونه‌ای انجام شده است که بر اساس معیار طراحی موجود [21]، کمانش ورق به جای کمانش کلی، به صورت کمانش موضعی در زیر صفحات باشد. سخت‌کننده‌ها به شکل ورق‌های مستطیلی می‌باشند. اتصال سخت‌کننده‌ها به ورق، اتصال تیر به ستون‌ها و اتصال ورق و سخت‌کننده‌ها به المان‌های قاب، همه از نوع اتصالات ممان‌گیر هستند. در محل اتصال ورق و سخت‌کننده‌های قائم به تراز پایه‌ی کلیه‌ی درجات آزادی مقید شده است. بارگذاری مدل‌ها از نوع مونوتونیک با اعمال تغییر مکان به مقطع ستون‌ها بوده و برای جلوگیری از نایابی داری عمود بر صفحه‌ی پانل، دو نقطه در تراز بالای مدل به صورت متقارن نسبت به خط عمودی گذرنده از مرکز سطح ورق در برابر تغییر مکان خارج از صفحه بسته شده‌اند. مش بندی اعضا با المان S4R انجام شده است که نوعی المان صفحه‌ای چهار گرهی با قابلیت انحنای دو طرفه می‌باشد به صورت نازک یا ضخیم قابل کاربرد است.

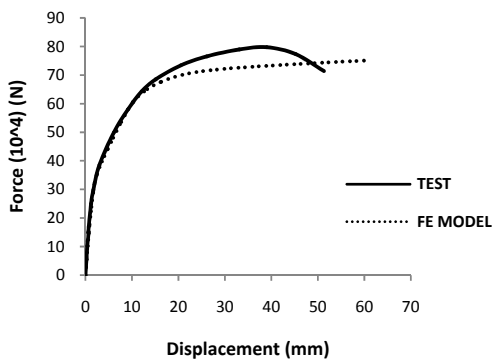
مدل‌سازی و معرفی مشخصات نمونه‌ها

در همه‌ی مدل‌های مورد مطالعه در این تحقیق، با هدف صحت‌سنگی روابط تئوریک به دست آمده در بخش‌های پیشین، عرض ورق برابر با 1410 میلی‌متر و ارتفاع آن برابر با 960 میلی‌متر در نظر گرفته شده است. ارتفاع و عرض بازشوها نیز به ترتیب برابر با 450 میلی‌متر و 250 میلی‌متر بوده و وضعیت استقرار سخت‌کننده‌ها در همه‌ی نمونه‌ها، مطابق با شکل (۶) انتخاب شده است. به دلیل ثابت بودن ارتفاع بازشوها (ارتفاع پانل میانی)، تغییر نسبت ارتفاع به عرض پانل، با تغییر فاصله‌ی بین بازشوها ایجاد شده است. در همه‌ی نمونه‌ها، سخت‌کننده‌های طرفین پانل میانی به صورت دو طرفه، با ارتفاع 450 میلی‌متر، عرض 2674 میلی‌متر و ضخامت $2/5$ میلی‌متر مدل شده‌اند. سطح مقطع انتخاب شده برای سخت‌کننده‌های دوگانه‌ی طرفین پانل، کمی بیش از مقدار به دست آمده بر اساس روابط تعیین شده در بخش‌های پیشین می‌باشد. سخت‌کننده‌های روی ورق پانل اصلی، به صورت دو طرفه با عرض 140 میلی‌متر و ضخامت 4 میلی‌متر در نظر گرفته شده‌اند. علت انتخاب مقاطعی با ممان اینرسی بالا برای سخت‌کننده‌های افقی و عمودی مذکور، جلوگیری از کمانش کلی و تبدیل وضعیت کمانشی به کمانش موضعی در زیر صفحات بوده است.^[21] در نمونه‌های تقویت‌شده دارای دو بازشو، پانل میانی و سایر زیر صفحات به صورت آزاد در برابر تغییر شکل کمانشی برسی شده‌اند. در شکل (۷) تعریف پارامتری ابعاد در مدل‌های با سخت‌کننده، نشان داده شده است.

در نام‌گذاری مدل‌های مورد بررسی به صورت انتخاب شده برای نسبت (d_1/b_1) به ترتیب برابر با $0/7$ ، $1/2$ ، $1/5$ ، $2/78$ ، $2/5$ ، $3/8$ و $9/7$ می‌باشند. حداقل نسبت ارتفاع به عرض پانل میانی (d_1) ، بر اساس شرط بیشتر بودن تغییر مکان برشی نسبت به تغییر مکان خمشی در تراز



شکل ۴ مقایسه منحنی‌های مربوط به صحت‌سنگی نتایج در مورد مدل فاقد بازشو و با سخت‌کننده



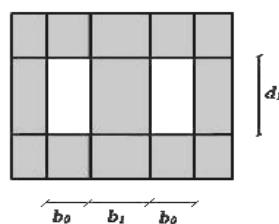
شکل ۵ مقایسه منحنی‌های مربوط به صحت‌سنگی نتایج در مورد مدل فاقد بازشو و بدون سخت‌کننده

صحت‌سنگی نتایج

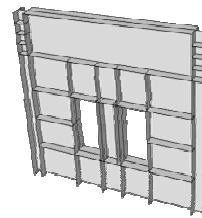
ملأک تعیین صحت نتایج مدل‌سازی، انطباق قابل قبول نمودارهای مربوط به تغییرات نیروی برشی در برابر تغییر مکان جانبی حاصل از آزمایش با منحنی‌های متناظر حاصل از مطالعه عددی، در نظر گرفته شده است. در اشکال (۵و۶)، به ترتیب مقایسه منحنی‌های بار-تغییر مکان حاصل از مدل‌سازی عددی و منحنی‌های متناظر آزمایشگاهی در مورد نمونه تقویت شده و بدون تقویت نشان داده شده است. همان‌طور که مشاهده می‌شود، منحنی‌های به دست آمده از نتایج آزمایش‌ها و مدل‌سازی، دارای انطباق قابل قبولی بر یکدیگر می‌باشند.

نمونه‌ها مقایسه شده است. در شکل‌های (۱۰) و (۹) دو مورد از نمونه‌ها، به ترتیب با نسبت (d_1/b_1) برابر با ۷/۰ و ۹ پس از بارگذاری نشان داده شده است.

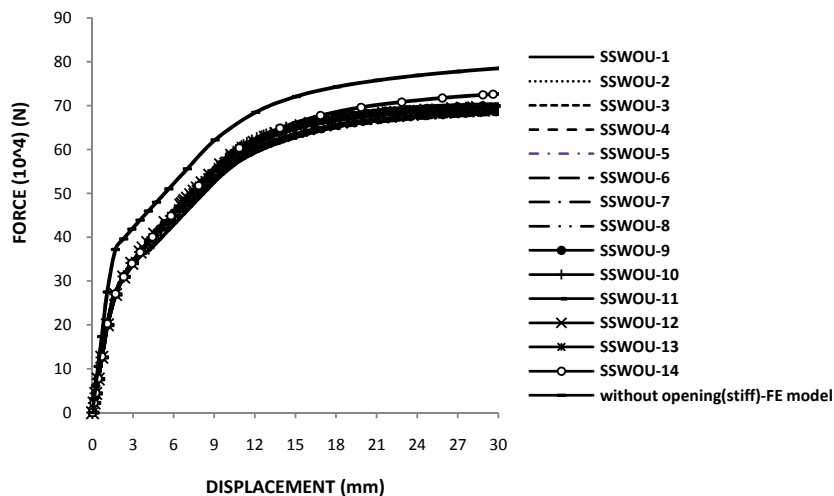
فوچانی بازشوها در پانل بین دو بازشو تعیین شده است. در شکل (۸) نمودار تغییرات نیروی برشی در برابر تغییر مکان جانبی در تراز فوچانی پانل اصلی برای تمام



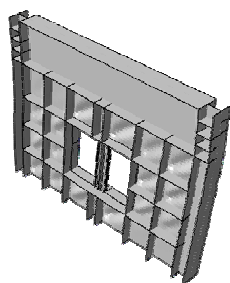
شکل ۷ تعریف ابعاد در نمونه‌های مورد مطالعه



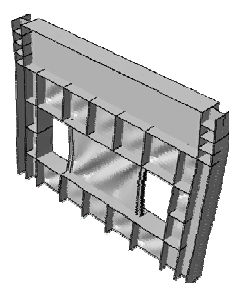
شکل ۶ وضعیت استقرار سخت‌کننده‌ها روی ورق



شکل ۸ منحنی‌های بار-تغییر مکان برشی نمونه‌ها

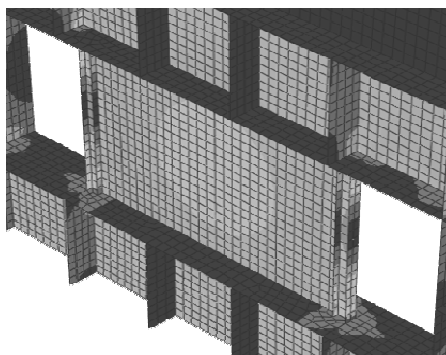


شکل ۱۰ نمونه SSWOU-14 در حالت تغییر شکل یافته

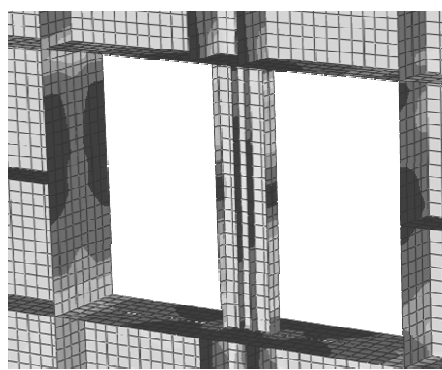


شکل ۹ نمونه SSWOU-1 در حالت تغییر شکل یافته

انتخاب شده است. در نمونه‌های مورد مطالعه، تنش حد جاری شدن فولاد ورق و سخت‌کننده‌ها به ترتیب برابر با $192/4$ مگا پاسکال و $414/9$ مگا پاسکال می‌باشد. در اشکال (۱۱ و ۱۲) نحوه توزیع تنش‌های فون میسز در لحظه آغاز جاری شدن ورق در نمونه SSWOU-1 و سخت‌کننده‌ها در نمونه SSWOU-14 نشان داده شده است.



شکل ۱۱ نحوه توزیع تنش‌های فون میسز در نمونه SSWOU-1 در زمان آغاز جاری شدن ورق



شکل ۱۲ نحوه توزیع تنش‌های فون میسز در نمونه SSWOU-14 در زمان آغاز جاری شدن سخت‌کننده‌های طرفین پانل میانی

با این تعاریف، در نمونه‌هایی که جاری شدن نصف تا دو سوم سطح ورق پانل میانی، پیش از جاری شدن المان‌های انتهایی سخت‌کننده‌های دوگانه‌ی

مقایسه‌ی نتایج مربوط به سختی و مقاومت برشی نمونه‌ها

با مشاهده‌ی شکل (۸) مشخص می‌شود، سختی برشی و مقاومت برشی نهایی همه پانل‌های بازشودار مورد بررسی تقریباً برابرند. به عبارت دیگر تغییر نسبت ارتفاع به عرض پانل نازک بین بازشوها، بر سختی و مقاومت برشی پانل تقویت‌شده‌ی اصلی بی‌تأثیر است؛ زیرا بر اساس تصوری اندر کنش ورق-قاب (PFI) [۱۵ و ۱۳] سختی و مقاومت برشی دیوارهای برشی فولادی تقویت‌شده‌ی بازشودار، تنها تابع عرض بازشوها و ضخامت ورق می‌باشد که هر دو پارامتر مذکور، در نمونه‌های مورد مطالعه ثابت در نظر گرفته شده‌اند.

مقایسه‌ی نتایج مربوط به جاری شدن المان‌های پانل میانی

برای مقایسه‌ی ترتیب لحظه‌ی آغاز جاری شدن ورق پانل بین بازشوها و سخت‌کننده‌های طرفین پانل مذکور، ابتدا لازم است بر اساس قضاوت مهندسی، معیاری به منظور تعیین لحظه‌ی آغاز جاری شدن ورق و سخت‌کننده‌ها معرفی شود.

با توجه به این‌که در نمونه‌های دارای پانل میانی نازک، جاری شدن ورق از مرکز سطح آن آغاز شده و به سرعت به سمت لبه‌های ورق پیش می‌رود، لذا لحظه‌ی رسیدن نصف تا دو سوم سطح ورق به تنش حد جاری شدن آن در برش به عنوان زمان آغاز جاری شدن ورق انتخاب شده است. در مورد سخت‌کننده‌های طرفین پانل، جاری شدن در اثر خمس، از قسمت‌های انتهایی سخت‌کننده‌ها آغاز شده و به تدریج به سمت وسط سخت‌کننده‌ها پیش روی می‌کند. بنابراین، زمان رسیدن المان‌های انتهایی سخت‌کننده‌ها به تنش حد جاری شدن در خمس، به عنوان لحظه‌ی زمانی آغاز جاری شدن سخت‌کننده‌ها

در زمان جاری شدن ورق فولادی رابطه‌ی (۳۱) برقرار است:

$$\begin{aligned} & (\sigma_{xx} - \sigma_{yy})^2 + (\sigma_{yy} - \sigma_{zz})^2 \\ & + (\sigma_{zz} - \sigma_{xx})^2 + 6\sigma_{xy}^2 + 6\sigma_{yz}^2 \\ & + 6\sigma_{zx}^2 - 2\sigma_0^2 = 0 \end{aligned} \quad (31)$$

با توجه به این‌که $\sigma_{yz} = \sigma_{zx} = 0$ می‌باشد، می‌توان نوشت:

$$3\tau_{cr}^2 + 3\tau_{cr}\sigma_{ty}\sin 2\theta + \sigma_{ty}^2 - \sigma_0^2 = 0 \quad (32)$$

لذا با در اختیار داشتن مقدار تنش حد جاری شدن ورق فولادی و یا فولاد در آزمایش کشش تک محوری σ_0 و تنش برشی بحرانی τ_{cr} در ورق فولادی می‌توان تنش σ_{ty} را با توجه به رابطه‌ی (۳۲) محاسبه نمود. سپس محاسبه‌ی تنش‌های قائم σ_{xx} و σ_{yy} و نیز محاسبه‌ی تنش برشی $\sigma_{xy} = \sigma_{yx}$ به ترتیب از روابط (۲۸-۳۰) امکان پذیر خواهد بود.

در شکل‌های (۲۶-۳۱)، وضعیت تنش‌ها در ورق پانل میانی و سخت‌کننده‌های اطراف آن در تغییر مکان‌های مختلف برای تعیین آغاز جاری شدگی در هر کدام از آن‌ها آورده شده است. همان طور که مشاهده می‌گردد با افزایش (d_1/b_1) به تدریج شروع جاری شدگی از ورق به سخت‌کننده‌های اطراف پانل میانی منتقل می‌شود. این موضوع در شکل (۲۷) به وضوح قابل روئیت می‌باشد. به طوری که از روی شکل مذکور می‌توان مشاهده نمود که تا حدود $d_1/b_1 < 4.0$ ، ابتدا ورق پانل میانی جاری می‌شود. به عبارت دیگر می‌توان بیان نمود که در این محدوده پانل میانی در برش عمل می‌نماید و فراتر از این حد به تدریج عملکرد آن به سمت خمشی میل می‌کند.

طرفین آن رخ دهد، عملکرد پانل میانی، برشی ارزیابی می‌گردد و در نمونه‌هایی که در آن‌ها جاری شدن المان‌های انتهایی سخت‌کننده‌های دوگانه‌ی طرفین پانل، قبل از جاری شدن نصف تا دو سوم سطح ورق به وقوع بپیوند، رفتار پانل میانی به صورت خمشی تعیین می‌شود. اگر مساحت سطحی کم‌تر از نصف تا دو سوم سطح کل ورق، به عنوان معیار، برای تعیین لحظه‌ی آغاز جاری شدن ورق در نظر گرفته شود، اختلاف لحظه‌ی آغاز جاری شدن ورق جان و سخت‌کننده‌های طرفین پانل بین بازشوها بیشتر می‌گردد. در چنین شرایطی پانل میانی به سمت رفتار خمشی خالص یا برشی خالص پیش می‌رود. در صورتی که اگر جاری شدن سطحی بیشتر از نصف تا دو سوم سطح کل ورق به عنوان معیار در نظر گرفته شود، اختلاف لحظه‌ی آغاز جاری شدن ورق جان و سخت‌کننده‌ها، کم‌تر می‌شود و پانل میانی رفتاری به صورت رفتار برشی و خمشی توأم نشان می‌دهد.

بر اساس تئوری PFI، پس از کمانش ورق و شکل‌گیری میدان پس کمانش، تنش‌های ورق فولادی با لحاظ نمودن تنش‌های بحرانی از روابط (۲۸) تا (۳۰) محاسبه می‌گردد:

$$\sigma_{xx} = \sigma_{ty}\sin^2\theta \quad (28)$$

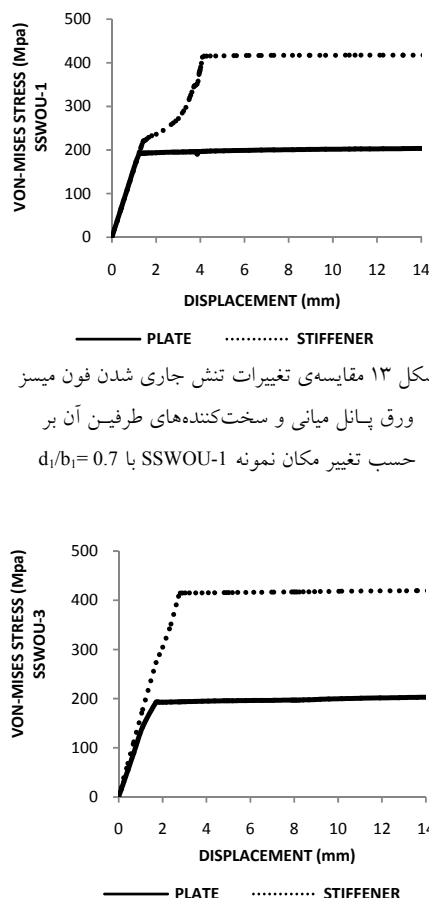
$$\sigma_{yy} = \sigma_{ty}\cos^2\theta \quad (29)$$

$$\sigma_{xy} = \sigma_{yx} = \tau_{cr} + \frac{1}{2}\sigma_{ty} \cdot \sin 2\theta \quad (30)$$

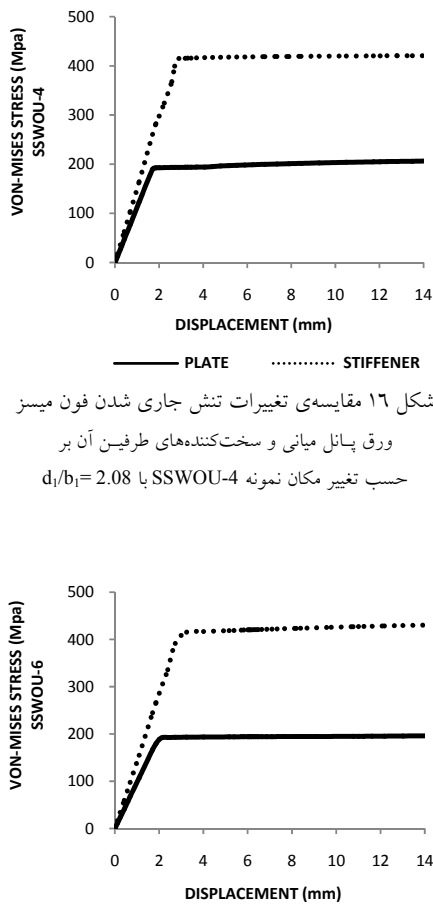
در روابط فوق، σ_{xx} و σ_{yy} مؤلفه‌های تنش قائم و σ_{xy} مؤلفه‌ی تنش برشی حاصل از میدان کششی ورق می‌باشند. بر اساس معیار جاری شدن فون میسرز،



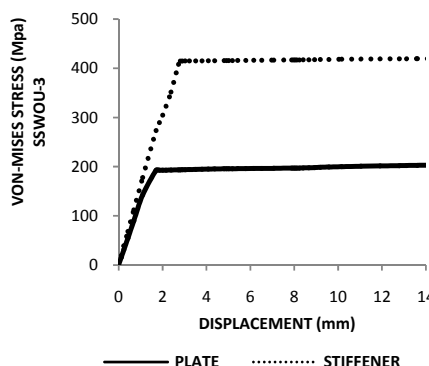
شکل ۱۴ مقایسه‌ی تغییرات تنش جاری شدن فون میسز ورق پانل میانی و سخت‌کننده‌های طرفین آن بر حسب تغییر مکان نمونه-2 با $d_1/b_1=1$ SSWOU-2



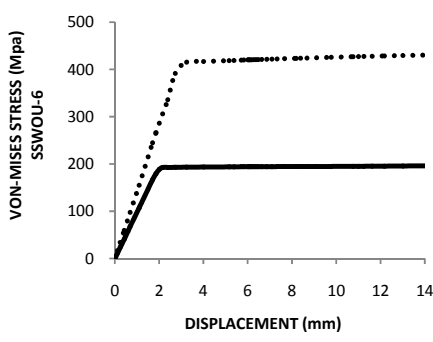
شکل ۱۳ مقایسه‌ی تغییرات تنش جاری شدن فون میسز ورق پانل میانی و سخت‌کننده‌های طرفین آن بر حسب تغییر مکان نمونه-1 با $d_1/b_1=0.7$ SSWOU-1



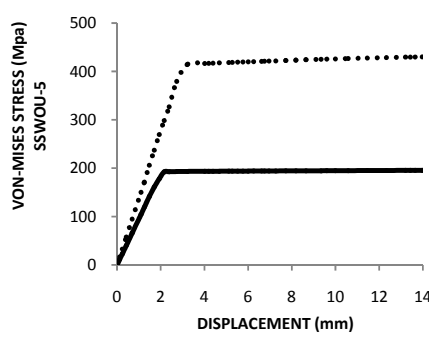
شکل ۱۶ مقایسه‌ی تغییرات تنش جاری شدن فون میسز ورق پانل میانی و سخت‌کننده‌های طرفین آن بر حسب تغییر مکان نمونه-4 با $d_1/b_1=2.08$ SSWOU-4



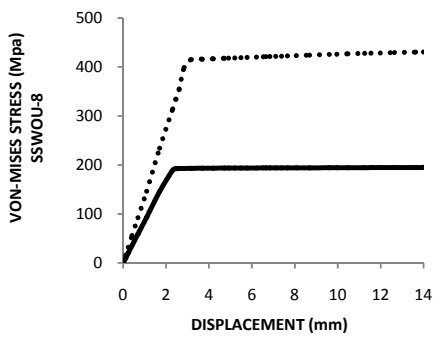
شکل ۱۵ مقایسه‌ی تغییرات تنش جاری شدن فون میسز ورق پانل میانی و سخت‌کننده‌های طرفین آن بر حسب تغییر مکان نمونه-3 با $d_1/b_1=1.5$ SSWOU-3



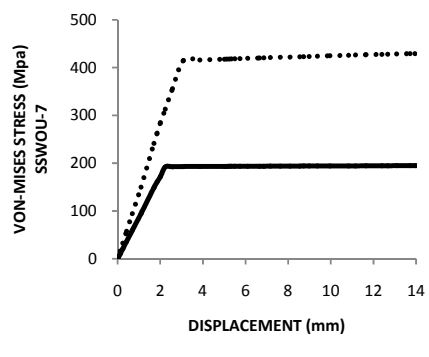
شکل ۱۸ مقایسه‌ی تغییرات تنش جاری شدن فون میسز ورق پانل میانی و سخت‌کننده‌های طرفین آن بر حسب تغییر مکان نمونه-6 با $d_1/b_1=2.5$ SSWOU-6



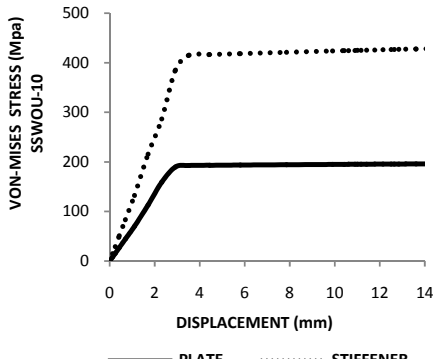
شکل ۱۷ مقایسه‌ی تغییرات تنش جاری شدن فون میسز ورق پانل میانی و سخت‌کننده‌های طرفین آن بر حسب تغییر مکان نمونه-5 با $d_1/b_1=2.2$ SSWOU-5



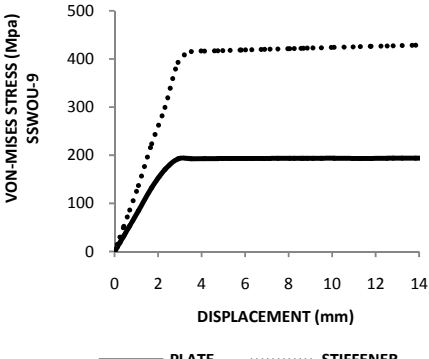
شکل ۲۰ مقایسه‌ی تغیرات تنش جاری شدن فون میسز ورق پانل میانی و سخت‌کننده‌های طرفین آن بر حسب تغییر مکان نمونه ۸ با SSWOU-8



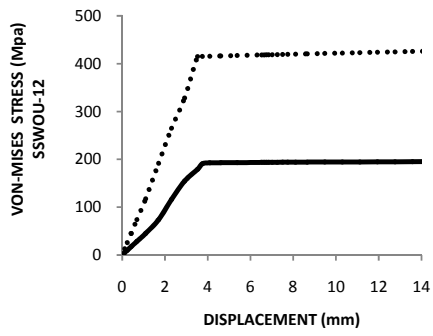
شکل ۱۹ مقایسه‌ی تغیرات تنش جاری شدن فون میسز ورق پانل میانی و سخت‌کننده‌های طرفین آن بر حسب تغییر مکان نمونه ۷ با SSWOU-7



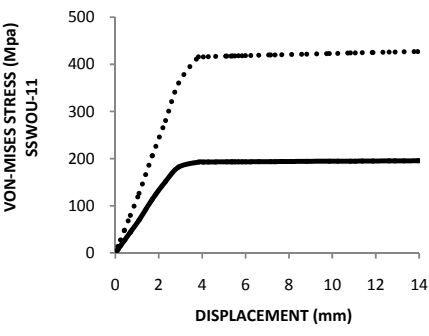
شکل ۲۲ مقایسه‌ی تغیرات تنش جاری شدن فون میسز ورق پانل میانی و سخت‌کننده‌های طرفین آن بر $d_1/b_1 = 3.8$ با SSWOU-10



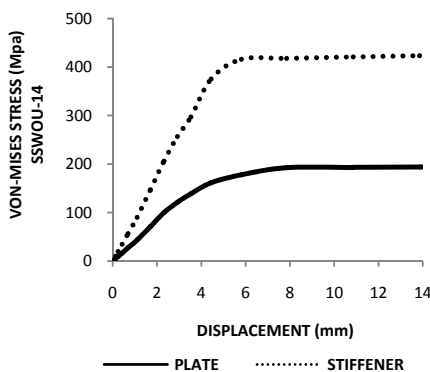
شکل ۲۱ مقایسه‌ی تغیرات تنش جاری شدن فون میسز ورق پانل میانی و سخت‌کننده‌های طرفین آن بر $d_1/b_1 = 3.5$ با SSWOU-9



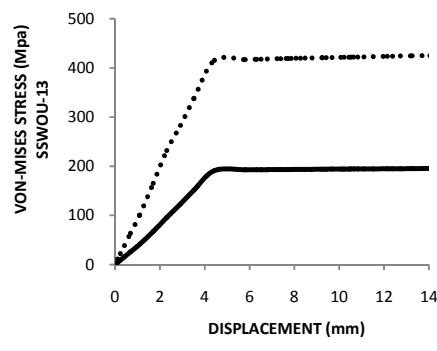
شکل ۲۴ مقایسه‌ی تغیرات تنش جاری شدن فون میسز ورق پانل میانی و سخت‌کننده‌های طرفین آن بر $d_1/b_1 = 6$ با SSWOU-12



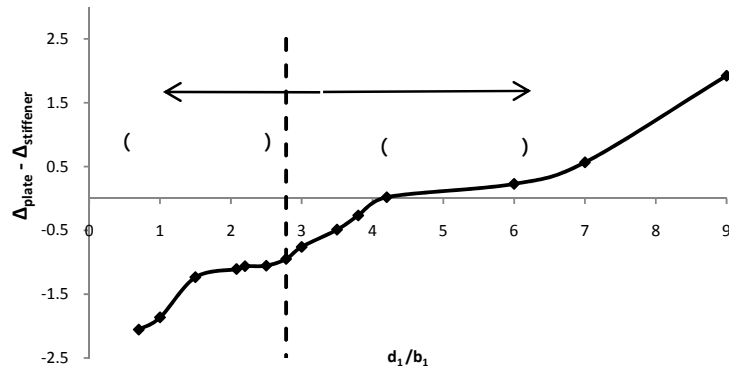
شکل ۲۳ مقایسه‌ی تغیرات تنش جاری شدن فون میسز ورق پانل میانی و سخت‌کننده‌های طرفین آن بر $d_1/b_1 = 4.2$ با SSWOU-11



شکل ۲۶ مقایسه‌ی تغییرات تنش جاری شدن فون میسز ورق پانل میانی و سخت‌کننده‌های طرفین آن بر حسب تغییر مکان نمونه SSWOU-14 با $d_1/b_1 = 9$



شکل ۲۵ مقایسه‌ی تغییرات تنش جاری شدن فون میسز ورق پانل میانی و سخت‌کننده‌های طرفین آن بر حسب تغییر مکان نمونه SSWOU-13 با $d_1/b_1 = 7$



شکل ۲۷ مقایسه‌ی مقدار اختلاف تغییر مکان آغاز جاری شدن ورق پانل میانی و سخت‌کننده‌های طرفین آن بر حسب نسبت d_1/b_1

به انجام آزمایش‌های متعدد می‌باشد، لذا می‌توان تا زمان انجام آن‌ها، از حد به دست آمده در روش تئوری کلاسیک، که در جهت اطمینان بیشتر می‌باشد، استفاده نمود.

نتایج

در این تحقیق، پانل نازک بین دو بازشو در دیوارهای برشی فولادی تقویت شده به لحاظ ارائه‌ی عملکرد برشی یا خمی مورد مطالعه قرار گرفت. به این منظور، به کمک روش کلاسیک، روابط حاکم بر نوع عملکرد پانل مذکور تعیین گردید. سپس به کمک

مقایسه‌ی نتایج روش عددی با روش تئوری کلاسیک

همان طور که در شکل (۲۷) نشان داده شده است، در صورت انتخاب فولاد به ترتیب با تنش جاری شدن $192/4$ و $414/9$ مگا پاسکال برای ورق پانل میانی و سخت‌کننده‌های اطراف آن، بر اساس روش تئوری کلاسیک با انتخاب نسبت ارتفاع به عرض پانل میانی کمتر از $2/8$ ، $(d_1/b_1 < 2.1)$ پانل مذکور به صورت برشی عمل می‌نماید. این در حالی است که نتایج روش عددی حد مذکور را حدوداً برابر با $4/0$ به دست می‌دهد. از آنجا که برای تعیین دقیق‌تر این حد نیاز

درپانل میانی	b
دهانه دیوار برشی فولادی و یا پانل برشی، دهانه پانل میانی در پانل‌های برشی دارای دو بازشو	d
ارتفاع طبقه در دیوار برشی فولادی و یا پانل برشی، ارتفاع پانل میانی در پانل‌های برشی فولادی دارای دو بازشو	E
ضریب ارجاعی	F_{bu}
نیروی جانبی ناشی از لنگر خمسمی نهایی (با فرض الاستیک- کاملاً پلاستیک بودن دیاگرام تنش- کرنش فولاد) در تراز فرقانی پانل میانی	F_{su}
نیروی برشی نهایی (با فرض الاستیک- کاملاً پلاستیک بودن دیاگرام تنش- کرنش فولاد)	F_{wu}
نیروی برشی نهایی ورق فولادی	G
ضریب ارجاعی برشی	I
ممان اینرسی المان تیر با مقطع I شکل	K_b
سختی خمسمی المان تیر با مقطع I شکل، سختی خمسمی پانل میانی	K_s
سختی برشی المان تیر با مقطع I شکل، سختی برشی پانل میانی	K
ثابت برش مقطع	μ
ضریب پواسون	$M(x)$
لنگر خمسمی در مقطع المان به ازای اعمال نیروی جانبی	F
لنگر خمسمی در مقطع المان به ازای اعمال نیروی جانبی واحد	$m(x)$
ممان خمسمی در تراز پایین پانل میانی	M_B
ممان خمسمی در تراز بالای پانل میانی	M_T
ضخامت ورق فولادی	t
زاویه میدان کششی به وجود آمده در	θ

روش عددی که با دو آزمایش انجام شده کالیبره شد،
صحت روابط به دست آمده مورد بررسی قرار گرفت و
نتایج زیر حاصل گردید:

(الف) در صورت کمتر بودن نسبت ارتفاع به عرض
پانل میانی $(\frac{d_1}{b_1})$ از حدود $4/0$ ، آغاز جاری شدگی
ابتدا در ورق اتفاق می‌افتد، لذا در این حالت رفتار پانل
میانی به صورت برشی ارزیابی می‌گردد.

(ب) به شرط بیشتر بودن نسبت ارتفاع به عرض پانل
میانی $(\frac{d_1}{b_1})$ از حدود $4/0$ ، نتایج نشان می‌دهد که آغاز
جاری شدگی به جای ورق، ابتدا در سخت‌کننده‌ها
واقع می‌شود، که در این حالت رفتار پانل میانی به
صورت خمسمی ارزیابی می‌شود.

در صورت انتخاب فولاد با تنش جاری شدن
۱۹۲/۴ مگا پاسکال برای ورق نازک پانل میانی و نیز
فولاد دارای تنش جاری شدن برابر با $414/9$ مگا

پاسکال برای سخت‌کننده‌های طرفین پانل مذکور،

(ج) بر اساس روش تئوری، با انتخاب نسبت ارتفاع به
عرض پانل میانی مساوی با مقداری کمتر از $2/8$ ، پانل
به صورت برشی رفتار می‌کند. در حالی که با توجه به
شکل (۲۷) روش عددی حد $4/0$ را به عنوان مرز
تفکیک کننده‌ی رفتار برشی و خمسمی به دست می‌دهد.

با وجود صحت‌سنجی اولیه‌ی نتایج حاصل از
مطالعه‌ی عددی با دو آزمایش، برای استناد به آن‌ها
لازم است مطالعات آزمایشگاهی بیشتری همراه با
بررسی نقش قاب دربرگیرنده ورق انجام شود و نتایج
به دست آمده با نتایج آزمایشگاهی به دقت مورد
مطالعه قرار داده شود.

فهرست علامت

مساحت مقطع المان تیر با مقطع I	A_I
شکل، سطح مقطع سخت‌کننده‌ای	
طرفین پانل میانی در پانل‌های برشی	
دارای دو بازشو	
مساحت وجه تحت اثر برش ورق	A_w

σ_{yy}	ورق فولادی
کششی ورق، که موازی محور y بوده و بر وجه با بردار نرمال موازی محور y اثر می‌کند.	U_{we} تغییر مکان برشی حد الاستیک ورق فولادی
مُؤلفه تنش قائم حاصل از میدان کششی ورق، که موازی محور y بوده و بر وجه با بردار نرمال موازی محور x اثر می‌کند.	$V(x)$ نیروی برشی در مقطع المان به ازای اعمال نیروی جانبی
مُؤلفه تنش قائم حاصل از میدان کششی ورق، که موازی محور x بوده و بر وجه با بردار نرمال موازی محور y اثر می‌کند.	$v(x)$ نیروی برشی در مقطع المان به ازای اعمال نیروی جانبی واحد
مُؤلفه تنش قائم حاصل از میدان کششی ورق، که موازی محور x بوده و بر وجه با بردار نرمال موازی محور y اثر می‌کند.	x ارتفاع مقطع مورد نظر برای محاسبه تلاش‌های داخلی از تراز پایه
Δ	σ_0 حد جاری شدن ورق فولادی و یا فولاد در آزمایش تک محوری کششی
Δ_{bu} میانی	σ_{0f} تنش جاری شدن فولاد بال‌ها (سخت‌کننده‌های طرفین پانل میانی)
Δ_{su} میانی	σ_{0w} تنش جاری شدن فولاد جان (ورق پانل میانی)
τ_{cr} فولادی	σ_{ty} تنش حد جاری شدن میدان کششی به وجود آمده در ورق فولادی
τ_{wy} برش	σ_{xx} مُؤلفه تنش قائم حاصل از میدان کششی ورق، که موازی محور x بوده و بر وجه با بردار نرمال موازی محور x اثر می‌کند.

مراجع

1. Astaneh Asl, A.; Zhao, Q., "Seismic Behavior and Design of Steel Shear Walls", Steel Tips, Structural Steel Educational Council, Technical Information and Product Service, (2001).
2. Astaneh Asl, A., "Seismic Behavior and Design of Composite Steel Plate Shear Walls", Steel Tips, Structural Steel Educational Council, Technical Information and Product Service, (2002).
3. Astaneh Asl, A., Zhao, Q., "Cyclic Behavior of Steel Shear Wall Systems", Proceedings, Annual Stability Conference, Structural Stability Research Council, Seattle, (2002).
4. Driver, R.G., Kulak, G.L., Kennedy, D.J.L., Elwi, A.E., "Seismic Behavior of Steel Plate Shear Walls", University of Alberta, Department of Civil and Environmental Engineering, Structural Engineering, Report No. 215, (1997).

5. Thorburn, L.J., Kulak, G.L., Montgomery, C.J., "Analysis of Steel Plate Shear Walls", *University of Alberta, Department of Civil and Environmental Engineering, Structural Engineering, Report No. 107*, (1983).
6. Driver, R.G., Kulak, G.L., Elwi, A.E., Kennedy, D.J., "FE and Simplified Models of Steel Plate Shear Wall", *Journal of Structural Engineering, ASCE*, pp. 121-130, (1998).
7. Sabelli, R., Bruneau, M., "Steel Plate Shear Walls", *Steel Design Guide 20*, American Institute of Steel Construction, (2006).
8. Berman, J., Bruneau, M., "Plastic Analysis and Design of Steel Plate Shear Walls ", *Journal of Structural Engineering, ASCE*, pp. 1448-1456, (2003).
9. Bruneau, M., Bhagwagar, T., "Seismic Retrofit of Flexible Steel Frames Using Thin Infill Panels", *Journal of Engineering Structures 24, Elsevier*, pp. 443-453, (2002).
10. Vian, D., Bruneau, M., "Testing of Special LYS Steel Plate Shear Walls", *Proceedings of the 13th World Conference on Earthquake Engineering, Paper No. 978*, Vancouver, British Columbia, Canada, (2004).
11. Choi, I., Park, H., "Cyclic Test For Framed Steel Plate Walls With Various Infill Plate Details", *Proceedings of the 14th World Conference on Earthquake Engineering, Beijing, China*, (2008).
12. Choi, I.R., Park, H.G., "Ductility and Energy Dissipation Capacity of Shear-Dominated Steel Plate Shear Walls", *Journal of Structural Engineering, ASCE*, pp.1495-1507, (2008).
۱۳. صبوری-قمنی، سعید، «سیستم‌های مقاوم در برابر بارهای جانبی، مقدمه‌ای بر دیوارهای برشی فولادی»، انتشارات انگیزه، (۱۳۸۰).
۱۴. صبوری-قمنی، سعید، «سیستم‌های مقاوم در برابر بارهای جانبی، طرح اندیشه استفاده از فولاد نرم»، انتشارات انگیزه، (۱۳۸۳).
15. Sabouri-Ghom, S., Ventura, C.E., Kharrazi, M.H.K., "Shear Analysis and Design of Ductile Steel Plate Walls", *Journal of Structural Engineering, ASCE*, 131(6), pp. 878-889, (2005).
16. Sabouri-Ghom, S., "Discussion of Plastic Analysis and Design of Steel Plate Shear Walls", *Journal of Structural Engineering, ASCE*, 131(4), pp. 695-697, (2005).
17. Sabouri-Ghom, S., Roberts, T.M., "Hysteretic Characteristics of Unstiffened Plate Shear Panels", *Journal of Thin-Walled Structures 12*, pp.145-162, (1991).
18. Sabouri-Ghom, S., Roberts T.M., "Hysteretic Characteristics of Unstiffened Perforated Plate

- Shear Panels", *Journal of Thin-Walled Structures* 14, pp.139-151, (1992).
۱۹. اخوان لیل آبادی، محمدرضا، طاحونی، شاپور، «تحلیل سازه‌ها (روش کلاسیک و ماتریس)»، انتشارات جهاد دانشگاهی صنعتی امیر کبیر، (۱۳۸۱).
۲۰. صبوری-قمری، سعید، سجادی، رامین، «بررسی آزمایشگاهی ضریب رفتار و جذب انرژی دیوارهای برشی فولادی شکل پذیر با سخت‌کننده و بدون سخت‌کننده»، مجله‌ی علمی-پژوهشی سازه و فولاد، سال چهارم، شماره ۳، ص ص ۲۵-۱۳، (۱۳۸۷).
21. Sabouri-Ghomı, S., Kharrazi, M.H.K., Mam-Azizi, S., Asad Sajadi, R., " Buckling Behavior Improvement of Steel Plate Shear Wall Systems", *Journal of the structural design of tall and special buildings*, Vol. 17, pp. 823-837, (2008).